

## 이온빔보조증착으로 제작한 저굴절률 $\text{SiO}_x\text{F}_y$ 광학박막의 특성 연구

이필주 · 황보창권

인하대학교 이과대학 물리학과

(1998년 4월 2일 받음, 1998년 5월 15일 수정본 받음)

$\text{CF}_4$  이온빔보조증착법으로 굴절률이 유리보다 낮은  $\text{SiO}_x\text{F}_y$  박막을 제작하고 광학적, 구조적 및 화학적 특성을 연구하였다. End-Hall 이온총의 양극전압의 감소에 따라  $\text{SiO}_x\text{F}_y$  박막의 굴절률은 1.455에서 1.394까지 변하였으며, 이온빔 전류밀도의 증가에 따라서 굴절률은 1.462에서 1.430까지 변하였다. XPS와 FT-IR 분석으로부터  $\text{SiO}_x\text{F}_y$  박막의 F양이 증가함에 따라 Si-O 결합은 파수가 높은 쪽으로 이동하였고, F이 약 8.5 at.%인  $\text{SiO}_x\text{F}_y$  박막은 OH 결합이 매우 감소하였으며, 박막 표면의 F이 대기중의  $\text{H}_2\text{O}$ 와 결합하여 탈착되는 것을 알았다.  $\text{SiO}_x\text{F}_y$  박막의 응력은 0.3 GPa 이하의 압축응력이었으며, 결정 구조는 비정질이었다.  $\text{SiO}_x\text{F}_y$  박막의 응용으로서  $\text{SiO}_x\text{F}_y$  박막과 흡수층 Si 박막을 이용하여 2층 반사방지막을 제작하였다.

### I. 서 론

빛의 간섭현상을 이용하는 다층 광학박막은 높은 굴절률과 낮은 굴절률의 두 물질을 교대로 진공 증착하여 제작하며, 박막 설계시 층수를 줄이기 위해서는 두 물질의 굴절률 차이가 커야한다.<sup>[1]</sup> 유리가 기판일 경우 가시광선 영역에서 높은 굴절률 물질로는  $\text{ZrO}_2$ ,  $\text{TiO}_2$ ,  $\text{Ta}_2\text{O}_5$ ,  $\text{ZnS}$ ,  $\text{HfO}_2$  등 여러 물질이 있으나, 낮은 굴절률 물질은  $\text{MgF}_2$ ,  $\text{Na}_3\text{AlF}_6$ ,  $\text{SiO}_2$ 와 같이 선택 폭이 매우 제한되어 있다.  $\text{MgF}_2$ 와  $\text{Na}_3\text{AlF}_6$ 는 굴절률이 각각 1.38, 1.35로 작으나 상대적으로 조밀도가 낮고 응력이 커 기계적 특성이 떨어지는 단점이 있으며,  $\text{SiO}_2$ 는  $\text{MgF}_2$ 와  $\text{Na}_3\text{AlF}_6$ 에 비해 기계적 특성은 좋으나 굴절률이 1.46으로 상대적으로 큰 단점이 있다.

두께에 따라 굴절률을 변화시키는 불균일(inhomogeneous) 굴절률 박막은 구성 원소들 사이의 화학적 원소조성비를 변화시켜 제작할 수 있다.<sup>[2,3]</sup> 불균일 박막 제작시 굴절률 조절 폭이 크면 두께를 얇게 할 수 있으며 파장영역이 넓은 반사필터를 제작할 수 있는 이점이 있다. 높은 굴절률대의 불균일 박막으로는  $\text{SiO}_x\text{N}_y$ ,  $\text{AlO}_x\text{N}_y$ ,  $\text{ZrO}_x\text{F}_y$  등의 연구가 진행되었으며 증착 조건에 따라 각각 0.40, 0.13, 0.23의 굴절률 변화 폭이 보고되었으나,<sup>[4-6]</sup>  $\text{SiO}_x\text{F}_y$  같은 저굴절률대의 불균일 박막은 많은 연구가 수행되지 않았다. 또한  $\text{SiO}_x\text{F}_y$ 와  $\text{SiO}_x\text{N}_y$ 를 함께 사용하면 불균일 광학필터 제작시 넓은 파장대에서 굴절률의 선택폭이 커지고, 박막의 두께를 감소시킬 수 있을 것이다.

열저항법이나 전자빔을 이용하여 제작하는 물리적증기증착법(physical vapor deposition)의 경우 결합력이 약한 원소들은 서로 반응을 잘하지 못하므로, 이를 보완하기 위한 방법으로 반응 이온빔보조증착법(reactive ion beam assisted deposi-

tion)이 이용되고 있다. 이온빔보조증착법은 이온의 높은 에너지와 운동량을 기판에서 진공증착법으로 성장하는 증착 임자에 전달하여 주는 방법이다. 이온빔보조증착법을 이용하면 낮은 온도에서도 박막의 결합력을 향상시킬 수 있고 박막의 조밀도를 증가시키므로 박막의 경도를 강하게 할 수 있다. 또한 증착전 이온빔을 이용한 기판 세척은 기판과 증착 물질의 접착력을 증가시킬 수 있으며, 사용하는 이온의 양을 조절하여 새로운 화학적 조성을 갖는 박막을 제작할 수 있다.

Gibson 등은<sup>[4]</sup> 열저항법을 이용하여  $\text{ZrF}_4$ 를 증발시키고, 산소를 이온총에 주입한 이온빔보조증착으로  $\text{ZrO}_x\text{F}_y$  박막을 증착하였으며, 굴절률을 1.52에서 1.8까지 변화시켰다.  $\text{ZrF}_4$ 에 O를 첨가하여 O의 원소조성비가 증가할 수록  $\text{ZrO}_x\text{F}_y$  박막의 굴절률은  $\text{ZrF}_4$  굴절률인 1.5로부터 증가하기 시작하여,  $\text{ZrO}_2$ 의 굴절률인 2.2까지 가능하다.

산화박막에 F을 첨가하면 산화박막보다 굴절률을 낮출 수 있으므로,  $\text{SiO}_2$ 에 F을 첨가하면  $\text{SiO}_2$ 의 굴절률인 1.46보다 크게 할 수 있다.  $\text{SiO}_x\text{F}_y$  박막은 기판이 유리인 경우 굴절률이 낮은 광학박막으로 사용할 수 있다. 화학적 증기 증착법으로 제작하는  $\text{SiO}_x\text{F}_y$  박막은 반도체 분야에서 유전상수가 작은 박막으로 사용하기 위해 많은 연구가 진행되었으나,<sup>[7-10]</sup>  $\text{SiO}_x\text{F}_y$  박막을 가시광선 영역에서 굴절률이 낮은 광학박막으로 이용하기 위해 이온빔보조증착법으로 제작하는 것은 저자가 아는 한 처음일 것으로 여겨진다. 본 연구에서는 낮은 이온에너지와 높은 이온빔 전류밀도의 end-Hall 이온총에  $\text{CF}_4$  가스를 주입하여 F이 함유된 이온빔을 발생시켰다. 산소분위기 속에서 전자총에 의해 증착되고 있는 Si 박막에  $\text{CF}_4$  이온빔을 충돌시켜 oxyfluoride 박막을 이온빔보조증착하였으며,  $\text{SiO}_x\text{F}_y$  박막의 광학적, 구조적 및 화학적 특성을 조사하였다.

흡수층을 이용한 2층 반사방지막은 컴퓨터나 TV 모니터 화면 선명도를 증가시키기 위해 사용될 수 있으며, 얇은 금속 혹은 TiN 박막과 유전체 박막의 2층구조로 간단히 반사율과 정전기를 줄일 수 있다.<sup>[11]</sup> 본 연구에서는  $\text{SiO}_x\text{F}_y$  박막의 응용으로서 흡수박막인 Si 박막과 굴절률이 낮은  $\text{SiO}_x\text{F}_y$ 를 이용하

\*본 연구는 1997년도 기초과학 학술연구조성비(거점연구 BSRI-97-2429)지원, 1996년도 인하대학교 연구년지원, 1997년도 인하대학교 연구비지원에 의하여 수행되었습니다.

여 2층 반사방지막을 제작하였으며, 반사율을 측정하여 설계 값과 비교하였다.

## II. 실험

회전펌프(Edwards)와 cryo펌프(Cryo-Torr 10)를 이용한 직경 700 mm 진공챔버의 기본진공은  $9 \times 10^{-7}$  이하였다.<sup>[12]</sup> 증착물질로 크기 3~5 mm, 순도 99.99%의 Si(S-1047, Cerac)을 전자빔(Innotech)으로 증발시켰으며, 증착중 기판 온도는 할로겐 램프를 이용하여 150°C로 유지하였다. 수정진동자 두께측정기(XTC/2, Leybold Inficon)로 측정한 박막의 증착률은 약 1 Å/s이었으며, 박막의 두께는 약 600 nm를 증착하였다. 분위기 가스로는 산소를 주입하였으며 MFC(GFC1000, Ion Tech)를 이용하여 압력은  $2.0 \times 10^{-4}$  Torr를 유지하였다. 이온빔보조증착을 위해 직경 6 cm의 end-Hall 이온총에 1.8 sccm의  $\text{CF}_4$  가스를 주입하였다. 박막의 굴절률을 조절하기 위한 방법으로는 이온빔 전류밀도를  $100 \mu\text{A}/\text{cm}^2$ 로 유지하며 80~110V까지 10V씩 변화시킨  $\text{SiO}_x\text{F}_y$  박막과 100 V의 양극 전압을 유지하면서 50~200  $\mu\text{A}/\text{cm}^2$ 까지  $50 \mu\text{A}/\text{cm}^2$  간격으로 이온총의 양극전압을 변화시키는 방법과 양극전압을 100V로 유지하며 50~200  $\mu\text{A}/\text{cm}^2$  까지 50  $\mu\text{A}/\text{cm}^2$  간격으로 이온빔 전류밀도를 변화시키는 방법을 이용하였다.

기판으로는 슬라이드 글라스와 실리콘 웨이퍼를 사용하였다. 슬라이드 글라스는 증착 후 포락선 방법을 이용한 박막의 광학 상수 측정과 XRD를 이용한 박막의 결정 분석에 사용하였으며, 실리콘 웨이퍼는 박막의 응력 측정과 화학적 분석을 위하여 XPS와 FT-IR에 사용하였다.

## III. 실험 결과 및 논의

### 3.1. 광학적 특성

그림 1은  $100 \mu\text{A}/\text{cm}^2$ 의 이온빔 전류 밀도에서 이온총의 양극 전압을 80~110V까지 10V씩 변화시킨  $\text{SiO}_x\text{F}_y$  박막과  $100 \mu\text{A}/\text{cm}^2$ 의 양극 전압을 유지하면서 50~200  $\mu\text{A}/\text{cm}^2$ 까지 이온빔 전류 밀도를 50  $\mu\text{A}/\text{cm}^2$ 씩 변화시킨 박막의 굴절률과 소멸계수를 포락선방법을 이용하여 측정한 것이다. 그림 1-(a)에서와 같이 양극전압 80 V와 110 V에서  $\text{SiO}_x\text{F}_y$  박막의 굴절률은 550 nm에서 각각 1.394와 1.455이었으며, 양극전압이 증가할 수록 굴절률이 증가하는 경향을 나타내었다. 이온빔 전류밀도의 증가에 따른 굴절률 변화는 그림 1-(a)에서와 같이 150  $\mu\text{A}/\text{cm}^2$ 까지는 굴절률이 1.462에서 1.430까지 낮아지거나, 150  $\mu\text{A}/\text{cm}^2$  이상으로 증가시키더라도 굴절률이 더 이상 감소하지 않았다. 이온총의 양극전압과 이온빔 전류밀도 변화에 따라 각각 0.061과 0.031의 굴절률 변화폭을 얻을 수 있었으며, 양극전압 변화에 따른 굴절률 변화폭이 더 크게 나타났다.

$\text{SiF}_4$ ,  $\text{SiH}_4$ ,  $\text{O}_2$  가스를 이용하여 Remote Plasma Chemical Vapor Deposition방법으로 제작한  $\text{SiOF}$  박막의 굴절률은  $\text{SiF}_4$ 의 주입량에 따라 1.388에서 1.428까지 변하였으며,<sup>[7]</sup> tetraethoxysilane(TEOS),  $\text{C}_2\text{F}_6$ ,  $\text{O}_2$  가스를 이용하여 Plasma Enhanced Chemical Vapor Deposition방법으로 제작한  $\text{SiO}_x\text{F}_y$  박막은  $\text{C}_2\text{F}_6$  가스의 주입량에 따라 약 1.395에서 1.452까지 변하였다.<sup>[13]</sup>  $\text{SiF}_4$  혹은  $\text{C}_2\text{F}_6$  가스의 주입량의 증가에 따라 박

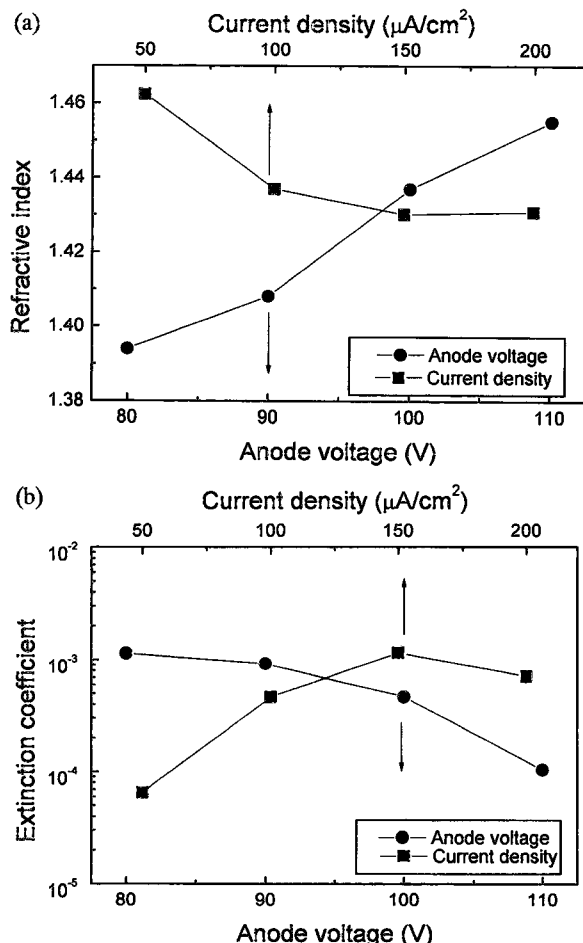


그림 1. 양극전압과 이온빔 전류밀도의 변화에 따라 제작한  $\text{SiO}_x\text{F}_y$  박막의 (a)굴절률과 (b)소멸계수: 이온총의 양극 전압의 변화에 따라서 굴절률은 1.394에서 1.455까지, 이온빔 전류밀도의 변화에 따라서는 1.462에서 1.430 까지조절할 수 있었다. 소멸 계수는  $10^{-3}$  이하로 매우 작았다.

막 내에 F의 양이 많아지므로 굴절률이 작아진 것이다.<sup>[14]</sup> 이온빔보조증착을 이용한 본 실험의 굴절률 변화폭도 화학적 증기증착 방법으로 제작한  $\text{SiO}_x\text{F}_y$  박막의 굴절률 변화폭과 유사하다.

그림 1-(b)에 이온총 양극전압과 이온빔 전류밀도 변화에 따른 박막의 소멸 계수를 나타내었다. 대부분 박막의 소멸계수가  $10^{-3}$  이하로 낮으므로,  $\text{SiO}_x\text{F}_y$  박막을 흡수가 작고 굴절률이 낮은 광학박막으로 사용할 수 있을 것으로 판단된다.  $\text{CF}_4$  이온을 사용하므로 박막내에 C가 포함되어 흡수가 클 것으로 기대되었으나, 그림 1-(b)에서와 같이 소멸계수가 매우 작으므로 C의 양은 무시할 수 있을 정도로 여겨진다.

### 3.2. 구조적 특성

XRD 분석으로부터 모든  $\text{SiO}_x\text{F}_y$  박막은 비정질이었다. 주인물질인  $\text{SiO}_2$  박막이 비정질이고 주입된 F 양이 매우 작으므로  $\text{SiO}_x\text{F}_y$  박막도 비정질일 것으로 생각된다. 그림 2는 양극전압과 이온빔 전류밀도의 변화에 따른  $\text{SiO}_x\text{F}_y$  박막의 응력

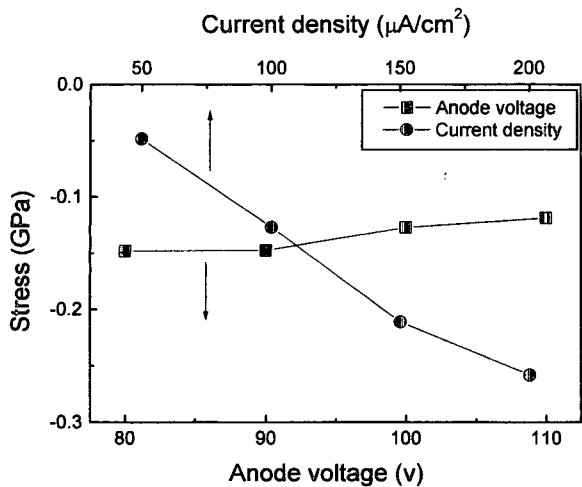


그림 2. 양극전압과 이온빔 전류밀도의 변화에 따라 제작한  $\text{SiO}_x\text{F}_y$  박막의 응력: 양극전압의 변화에서는 응력이 거의 변하지 않았으며 이온빔 전류밀도의 변화에 따라서는 0.26에서 0.05 GPa의 압축응력을 나타내었다.

을 측정한 것으로, 모두 0.3 GPa 이하의 낮은 압축응력을 나타내었다. 양극전압의 증가에 따라서는 약 0.15 GPa로 압축응력이 거의 변하지 않았으며, 이온빔 전류밀도 증가에 따라서는 압축응력이 0.05에서 0.26 GPa까지 증가하였다. 이온빔 보조증착법으로 제작된 박막들은 보통증기증착방법으로 제작된 박막에 비해 조밀하기 때문에 일반적으로 압축응력을 나타내는 것으로 알려져 있다.<sup>[15]</sup> 본 실험의 경우도 이온빔 충돌에 의하여 이러한 효과가 나타난 것으로 기대된다.

$\text{SiO}_x\text{F}_y$  박막의 응력은 제작조건에 따라 변화가 크다. LPCVD 방법으로 제작한  $\text{SiO}_x\text{F}_y$  박막은 인장응력이 50 MPa로 매우 낮았으며,<sup>[16]</sup> PECVD법으로 제작한 박막은 인장응력이 1 GPa 이하이고 굴절률이 1.412까지 감소하였다.<sup>[17]</sup> ECR을 이용하여 TEOS,  $\text{C}_2\text{F}_6$ ,  $\text{O}_2$  가스로 제작한  $\text{SiO}_x\text{F}_y$  박막은 F양이 증가함에 따라 압축응력이 0.15 GPa로부터 0.09 GPa로 감소하고 굴절률은 1.42까지 감소하였다.<sup>[18]</sup> 본 실험에서 이온빔보조증착으로 제작한  $\text{SiO}_x\text{F}_y$  박막은 굴절률이 1.394이고 압축응력은 0.3 GPa이하이므로, 굴절률이 낮으면서 기계적으로 안정된 특성을 나타내는 것으로 보인다.

### 3.3. 화학적 특성

#### 3.3.1 FT-IR 분석

그림 3은 전자총으로 증착한  $\text{SiO}_2$  박막과 이온빔 전류밀도 100  $\mu\text{A}/\text{cm}^2$ 와 양극전압 80 V와 110 V에서 제작한  $\text{SiO}_x\text{F}_y$  박막을 FT-IR을 이용하여 분석한 것이다.  $\text{SiO}_2$  박막에서는 810  $\text{cm}^{-1}$ 에서 Si-O, 940  $\text{cm}^{-1}$ 에서 Si-OH, 1080  $\text{cm}^{-1}$ 에서 Si-O 결합, 3400  $\text{cm}^{-1}$ 에서 H-OH 결합 피크가 측정되었다. H를 이온으로 사용하지 않은 본 실험에서 발견된 OH 결합은 박막이 진공증 혹은 공기 중에 노출된 후  $\text{H}_2\text{O}$ 와 반응하여 생긴 것으로 판단된다. 110 V의  $\text{SiO}_x\text{F}_y$  박막은  $\text{SiO}_2$  박막의 스펙트럼과 거의 유사하므로, 화학적 특성이  $\text{SiO}_2$  박막과 거의 같고, F양이 매우 작을 것으로 기대된다. 따라서 광학적 특성도  $\text{SiO}_2$  박막과

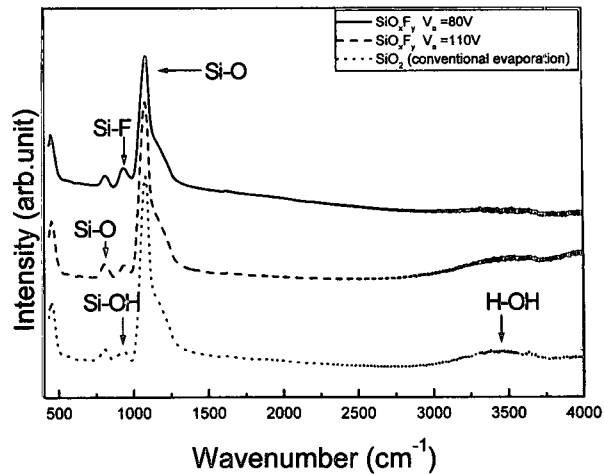


그림 3.  $\text{SiO}_2$ 와  $\text{SiO}_x\text{F}_y$  박막의 FT-IR 스펙트럼:  $\text{SiO}_x\text{F}_y$  박막은 940  $\text{cm}^{-1}$ 의 Si-OH 결합이 사라지고 930  $\text{cm}^{-1}$  근처의 Si-F 결합 피크가 생겼으며, 3400  $\text{cm}^{-1}$  근처의 H-OH 결합 피크 피크가 현저히 줄었다.

유사할 것이며, 이는 그림 1-(a)에서 양극전압 110 V  $\text{SiO}_x\text{F}_y$  박막의 굴절률이 1.455로  $\text{SiO}_2$  박막의 굴절률에 가까운 것과 일치하고 있다. 양극전압 80 V의  $\text{SiO}_x\text{F}_y$  박막은 940  $\text{cm}^{-1}$ 와 3400  $\text{cm}^{-1}$ 의 OH 결합이 거의 없어지고, 930  $\text{cm}^{-1}$ 에서 Si-F 결합 피크가 나타났으며, Si-O 결합이 1084  $\text{cm}^{-1}$  이동하였다.

그림 4는 FT-IR 분석에서 양극전압 감소에 따라 1080  $\text{cm}^{-1}$  근처의 Si-O 결합 피크가 높은 파수로 이동하는 것을 측정한 것이다. 이는 양극전압이 감소할수록 박막내에 F양이 증가하고 전기적 음성이 강한 F에 의해 Si-F 결합이 증가함에 따라, 약한 결합 상태의 Si-O 결합이 감소하고 Si-O 결합이 높은 파수 쪽으로 이동하는 것으로 판단된다.<sup>[16,19,20]</sup> 양극전압이 감소함에 따라 Si-F 결합이 증가하는 것은 그림 1에서 낮은

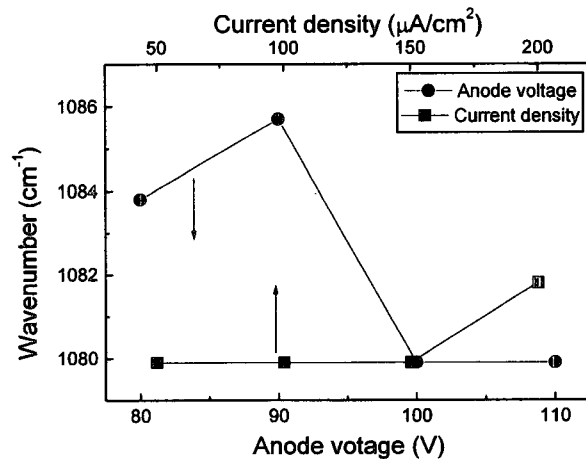


그림 4. 양극전압과 이온빔 전류밀도의 변화에 따라 제작한  $\text{SiO}_x\text{F}_y$  박막의 Si-O 결합 피크의 이동: 양극전압이 감소할수록 1080  $\text{cm}^{-1}$  근처의 Si-O 결합 피크가 높은 파수로 이동하였고, 이온빔의 전류밀도의 증가에 따른 Si-O 결합 피크는 거의 이동하지 않았다.

양극전압에서 굴절률이 감소하는 것과 일치하고 있다.

이온빔의 전류 밀도의 증가에 따라 Si-O 결합 피크 파수는 거의 이동하지 않았다. 이는 이온빔 전류 밀도가 증가하여도 박막내에 F 양이 크게 변하지 않기 때문이며, 그림 1-(a)에서 이온빔 전류 밀도가 증가하여도 굴절률이 크게 변하지 않는 것과 일치하고 있다.

80 V 양극전압의 박막에서 Si-OH와 H-OH 결합이 감소하였으므로 박막이 수분 침투에 강해졌을 것으로 판단된다. 이는 F가 OH와 반응하여 OH 결합을 감소시켰거나, 이온빔의 운동량 전달에 의하여 박막의 다공성(porosity)이 감소하고 박막이 보다 조밀해졌기 때문일 것이다.<sup>[16,21]</sup>

### 3.3.2. XPS 분석

XPS 분석에서는 5 kV, 5 mA의 Ar 이온을 이용하여  $\text{SiO}_x\text{F}_y$  박막의 표면과 박막을 1, 5, 10, 20, 30분을 에칭 할 때마다 성분비를 조사하였다. 30분 에칭후 텀침법으로 측정한 박막의 에칭 두께는 약 4000 Å이었다. 그림 5는 양극전압 80 V와 110 V에서 제작한 박막을 30분간 에칭한 후 넓게 주사한 F 1s, O 1s, Si 2p 피크이며, 각각 690 eV, 563 eV, 106 eV에서 관측되었다.<sup>[7,13,21]</sup> 양극전압 80 V에서 제작한 박막은 690 eV 부근에서 F 1s 피크를 뚜렷이 관찰할 수 있으나 양극전압 110 V인 박막은 주위 배경과 구분하기 힘들 정도로 피크가 작다. 이는 그림 1-(a)에서 양극전압 80 V인  $\text{SiO}_x\text{F}_y$  박막의 굴절률이 가장 낮은 것은 F 양이 가장 많기 때문이고, 양극전압 110 V  $\text{SiO}_x\text{F}_y$  박막의 굴절률이  $\text{SiO}_2$ 와 거의 같은 것과 일치하고 있다.

$\text{CF}_4$ 는 매우 안정된 물질이어서 이온화를 시킬 경우 대부분이  $\text{CF}_3^+$ 로 구성되어 있으며, 본 실험에서와 같이 약 100 eV의  $\text{CF}_3^+$ 가 박막 표면과 충돌하면 C와 F가 분리되어 박막과 반응하여 결합을 이루는 것으로 알려져 있다.<sup>[22]</sup> 본 실험에서 C 1s 피크는 F 1s 피크에 비해 기기의 분해능 내에서 관찰하기가 매우 힘들 정도로 작았다. 이와 같이  $\text{SiO}_x\text{F}_y$  박막에서 C가 매우 작은 것을 Sawada 등은 C가  $\text{O}_2$ 와 반응하여 기체로

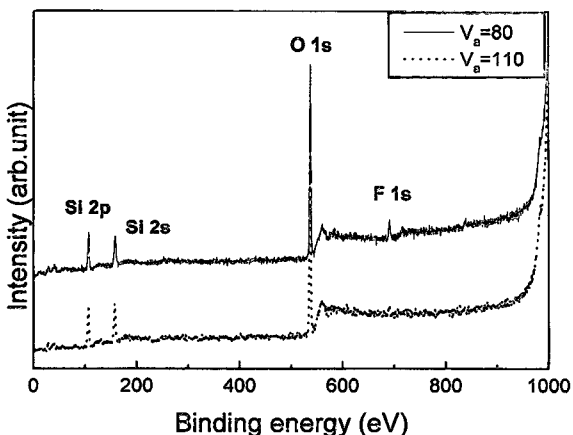


그림 5. 양극전압 80 V와 110 V의  $\text{SiO}_x\text{F}_y$  박막을 30분간 에칭한 후 XPS로 측정한 광대역 주사 스펙트럼: 80 V 양극전압에서 제작한 박막은 690 eV 부근에서 F 1s 피크를 뚜렷이 관찰할 수 있으나, 110 V 양극전압의 박막은 F 1s 피크가 매우 작다.

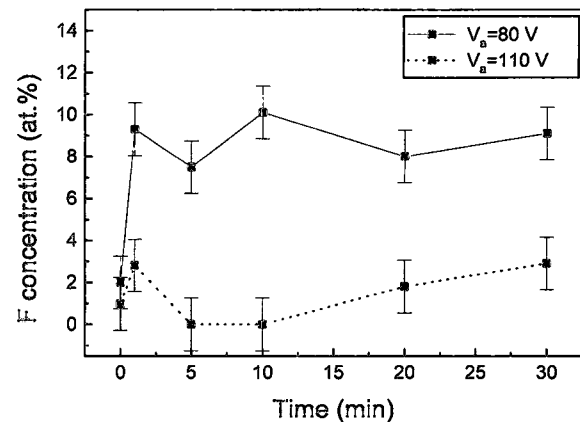


그림 6. 80 V와 110 V의 양극전압에서 제작한  $\text{SiO}_x\text{F}_y$  박막을 각각 표면과 1, 5, 10, 20, 30분 에칭한 후 XPS로 측정한 F의 깊이 변화: 80 V와 110 V 양극전압 박막의 F 양은 각각 약 8.5 at.%와 1.5 at.%이고, 표면에서는 F의 탈착 현상이 나타났다.

$\text{CO}_x$  결합을 이루어 진공 펌프에 의해 챔버 밖으로 나가기 때문이라고 설명하였으며, 본 실험에서도 이와 같은 현상이 나타나 C의 양이 매우 작은 것으로 판단된다.<sup>[21]</sup>

양극전압이 증가하면  $\text{CF}_3^+$ 의 에너지가 증가하고 Si과의 반응이 촉진되어 F양이 증가할 것으로 기대되었으나 본 실험에서는 오히려 감소하여 그림 1-(a)에서와 같이 굴절률이 증가하는 현상을 나타내었다. 이는 이온 에너지가 증가함에 따라  $\text{CF}_3^+$  이온빔이 박막의 F을 선택적(preferential)으로 스퍼터링 시켜 F이 감소하였거나, 이온빔 내에  $\text{CF}_2^+$ ,  $\text{CF}^+$  등이 많아져 F양이 감소하였기 때문인 것으로 보인다.

그림 6은 표면, 1, 5, 10, 20, 30분 에칭한 후 양극전압 80 V와 110 V 박막의 F의 양을 측정한 것이다. 양극전압 80 V의 박막의 경우 깊이에 따른 F의 양은 약 8.5 at.%이며, 이온빔보조증착에 의하여 박막 내부에 F이 비교적 고르게 분포되어 있는 것을 알 수 있다. 110 V의 박막은 F이 약 1.5 at.%로 매우 낮으며 F의 깊이 변화가 매우 크다. F의 변화가 큰 것은 이온빔이 안정되지 않았거나, 선택적 스퍼터링에 의하여 F이 불균일하게 감소한 것으로 여겨진다.

양극전압 80 V의  $\text{SiO}_x\text{F}_y$  박막은 표면에서 F이 약 2 at.%로 박막 내부에 비해서 매우 작으며, 110 V 박막도 표면의 F이 내부에 비해 매우 작다. 이러한 현상을 규명하기 위하여 Sawada는 XPS를 이용하여 대기 노출 전과, 1 주일간 대기중 노출 후 박막의 F 양을 측정하였다.<sup>[21]</sup> 대기 노출 후 박막 표면의 F 양은 노출 전에 비해 약 40%가 감소하였으며, 이는 박막 표면의 F이 대기중의  $\text{H}_2\text{O}$ 와 반응하고 HF 결합을 이루어 탈착(desorption)되었기 때문이라고 보고하였다. 본 실험의 결과도 같은 경향을 나타내고 있는 것으로 판단된다.

### 3.4. 흡수층을 이용한 2층 반사방지막

$\text{SiO}_x\text{F}_y$  박막의 용융으로서 흡수층 Si 박막과 굴절률 1.394의  $\text{SiO}_x\text{F}_y$  박막을 이용하여 (공기/ $\text{SiO}_x\text{F}_y/\text{Si}/\text{유리}$ )와 같은 반사방지막을 설계, 제작하였다. Si 박막과  $\text{SiO}_x\text{F}_y$  박막의 두께는 반

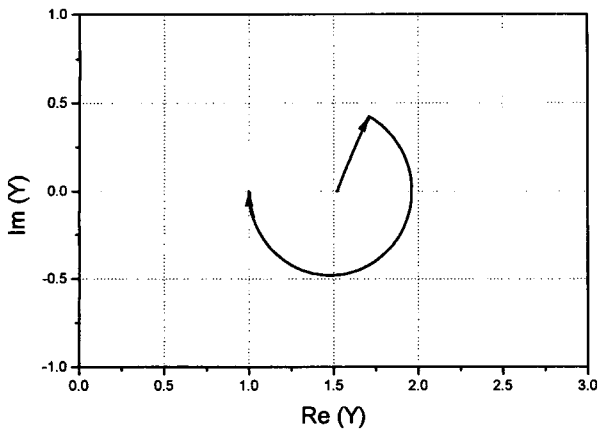


그림 7. 유리 기판 위에 두께 2.3 nm Si 박막과 두께 125 nm  $\text{SiO}_x\text{F}_y$  박막으로 설계하였을 때의 어드미턴스 그림

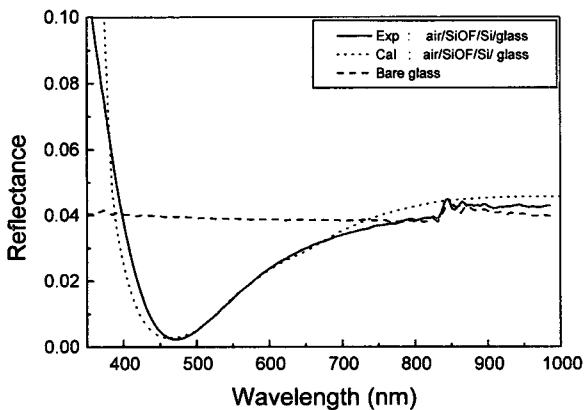


그림 8. 흡수층을 이용한 2층 반사방지막(공기/ $\text{SiO}_x\text{F}_y$ /Si/유리)의 반사율과 곡선맞춤한 반사율.

사율이 0이 되도록 어드미턴스그림을 이용하여 결정하였다.

$$\text{광학 어드미턴스가 } Y \text{인 박막의 반사율 } R \text{은 } R = \left| \frac{\zeta_0 - Y}{\zeta_0 + Y} \right|^2 \text{로}$$

주어지며,  $\eta_0$ 는 입사매질의 어드미턴스이다.<sup>[1]</sup> 박막의 어드미턴스  $Y$ 가 입사매질의 어드미턴스  $\eta_0$ 와 같으면 반사방지 조건인  $R=0$ 이 된다. 기준파장 510 nm에서  $Y=1$ 이 되는 Si 박막과  $\text{SiO}_x\text{F}_y$  박막의 두께는 각각 2.2 nm와 115 nm였으며, 그림 7은 박막두께의 증가에 따른 어드미턴스  $Y$ 의 변화이며, 기판 유리의 굴절률인 실수축 1.52에서 출발한  $Y$ 가 1.0에 도달하는 것을 보여주고 있다.

그림 8의 실선은 제작한 2층 반사방지막의 반사율이다. 기준 파장 510 nm 보다 낮은 475 nm에서  $R=0.02$ 로 가장 낮은 반사율을 나타내었다. 점선은 실험치에 맞추기 위하여 Si의 두께를 1.9 nm로 전산모의하였을 때의 반사율이며, 비교적 측정치와 잘 일치하고 있는 것을 알 수 있다. Si 박막의 두께는 수정진동자로 맞추었으나 두께가 매우 얇아 정확히 맞추는 것이 어려웠으며,  $\text{SiO}_x\text{F}_y$  박막은 광학두께측정기로 반사율이 최소일 때에 중착을 멈추었다. 본 실험에서는 Si 박막 중착후 Si 중착물질을 바꾸지 않고 이온빔보조증착  $\text{SiO}_x\text{F}_y$  박막을 증착

하여, 저굴절률  $\text{SiO}_x\text{F}_y$  박막이 흡수층 2층 반사방지막에 응용 가능함을 보여주었다. Si 박막대신 TiN 박막을 이용하면 가시 광선 영역에서 반사방지막의 파장영역을 넓힐 수 있다.<sup>[11]</sup>

## V. 결 론

$\text{CF}_4$  이온빔 보조증착법으로 굴절률을 유리보다 낮게 조절할 수 있는  $\text{SiO}_x\text{F}_y$  박막을 제작하였으며 박막의 광학적, 기계적, 화학적 특성을 분석하였다. 이온총의 양극전압과 이온빔 전류밀도의 변화에 따라 굴절률을 각각 1.455~1.394, 1.462~1.430 사이를 조절할 수 있었다. 박막의 굴절률 변화폭은 양극전압 변화에 따른 변화폭이 이온빔 전류밀도 변화에 따른 변화폭보다 0.029 크게 나타났다. FT-IR 측정에서는 양극전압이 감소할수록  $1080 \text{ cm}^{-1}$  근처의 Si-O 결합 피크가 높은 파수 쪽으로 이동하였으며, XPS 분석에서는 양극전압 80 V와 110 V에서 제작한  $\text{SiO}_x\text{F}_y$  박막의 F양이 각각 8.5 at.%와 1.5 at.%이었으며, 박막 표면의 F은 탈착되어 양이 감소하였다. 따라서 양극전압의 감소에 따라  $\text{SiO}_x\text{F}_y$  박막의 F 양이 증가하고 굴절률이 감소하는 것으로 판단된다. 모든  $\text{SiO}_x\text{F}_y$  박막은 0.3 GPa 이하의 비교적 낮은 압축응력을 나타내었으며, XRD 측정으로부터 박막의 결정구조는 비정질이었다.  $\text{SiO}_x\text{F}_y$  박막과 Si 박막으로 2층 반사방지막을 제작하여,  $\text{SiO}_x\text{F}_y$  박막의 응용과 흡수 물질을 이용한 2층 반사방지막의 제작 가능성을 확인하였다.

## 참고문헌

- [1] H.A. Macleod, *Thin-film optical filters*, 2nd ed., (Adam Hilger, Bristol, 1986).
- [2] J.A. Dowrowolski and S. Lowe, "Optical thin film synthesis program based on the use of Fourier transforms", *Appl. Opt.* **17**, 3039-3050 (1978).
- [3] 조현주, 이종오, 황보창권, "Fourier 변환을 이용한 불균일 굴절률 Rugate 필터의 설계", *한국광학회지* **6**, 245-256 (1995).
- [4] U.J. Gibson and K.D. Cornett, "Thin-film waveguides of zirconium oxyfluoride with variable refractive index produced by ion-beam-assisted deposition", *Opt. Lett.* **20**, 2201-2203 (1995).
- [5] H.J. Cho, I.G. Yu and C.K. Hwangbo, "Inhomogeneous optical  $\text{SiO}_x\text{N}_y$  thin films prepared by ion assisted deposition", *Nuclear Instruments and Methods in Physics Research*. **B121**, 137-140 (1997).
- [6] P.G. Synder, Y. Xiong, J.A. Woollam, G.A. Aljumaily and F.J. Gagl, "Graded refractive index silicon oxynitride thin film characterized by spectroscopic ellipsometry", *J. Vac. Sci. Technol. A10*, 1462 (1992).
- [7] S.M. Lee, M. Park, J.T. Bark and J. Jang, "Low Dielectric Constant Fluorinated Oxide Films Prepared by Remote Plasma Chemical Vapor Deposition", *Jpn. J. Appl. Phys.* **35**, 1579-1582 (1996).
- [8] T. Tamura, Y. Inoue, M. Satoh, H. Yoshitaka and J. Sakai, "Characterization of stable fluorine-doped silicon

- oxide film prepared by biased helicon plasma chemical deposition", Jpn. J. Appl. Phys. **35**, 2526-2529 (1996).
- [9] S. Takeishi, H. Kudoh, R. Shinohara, A. Tsukune, Y. Satoh, H. Miyazawa, H. Harada and M. Yamada, "Stabilizing dielectric constants of fluorine-doped  $\text{SiO}_2$  films by  $\text{N}_2\text{O}$ -plasma annealing", J. Electrochem. Soc. **143**, 381-385 (1996).
- [10] P.W. Lee, S. Mizuno, A. Verma, H. Tran, and B. Nguyen, "Dielectric constant and stability of fluorine-doped plasma enhanced chemical vapor deposition  $\text{SiO}_2$  thin films", J. Electrochem. Soc. **143**, 2015-2019 (1996).
- [11] Y. Zheng, K. Kikuchi, M. Yamasaki, K. Sonoi and K. Uehara, "Two-layer wideband antireflection coatings with an absorbing layer", Appl. Opt. **36**, 6335-6338 (1997).
- [12] H.J. Cho and C.K. Hwangbo, "Optical inhomogeneity and microstructure of  $\text{ZrO}_2$  thin films prepared by ion-assisted deposition", Appl. Opt. **35**, 5545-5552 (1996).
- [13] T. Usami, K. Shimokawa and M. Yoshimaru, "Low dielectric constant interlayer using fluorine-doped silicon oxide", Jpn. J. Appl. Phys. **33**, 408-412 (1994).
- [14] H. Kudo, R. Ahinomara, S. Takeishi, N. Awaji and M. Yamada, "Densified SiOF film formation for preventing water absorption", Jpn. J. Appl. Phys. **35**, 1583-1587 (1996).
- [15] H.K. Pulker, "Mechanical properties of optical thin films", in *Thin Films for Optical Systems*, ed. F.R. Flory, (Marcel Dekker, New York, 1995).
- [16] T. Homma, "Fluorinated interlayer dielectric films in ULSI multilevel interconnections", J. Non-Crystalline Solids, **187**, 49-59 (1995).
- [17] B.K. Hwang, J.H. Choi, S. Lee, K. Fujihara, U.I. Chung, S.I. Lee and M.Y. Lee, "Elimination of Al line and via resistance degradation under HTS test in application of F-doped oxide as intermetal dielectric", Jpn. J. Appl. Phys., **35**, 1588-1592 (1996).
- [18] D.R. Denison, J.C. Barbour and J.H. Burkhardt "Low dielectric constant, fluorine-doped  $\text{SiO}_2$  for intermetal dielectric", J. Vac. Technol. **A14**, 1124-1126 (1996).
- [19] S.W. Lim, Y. Shimogaki, Y. Nakano, K. Tada and H. Komiyama, "Preparation of low-dielectric-constant F-doped  $\text{SiO}_2$  films by plasma-enhanced chemical vapor deposition", Jpn. J. Appl. Phys. **35**, 1468-1473 (1996).
- [20] H. Miyajima, R. Katsumata, Y. Nakasaki, Y. Nishiyama and N. Hayasaka, "Water absorption properties of F-doped  $\text{SiO}_2$  films using plasma-enhanced chemical vapor deposition", Jpn. J. Appl. Phys. **35**, 6217-6225 (1996).
- [21] M. Sawada, Y. Nakagami, T. Shirafuji, Y. Hayashi and S. Nishno, "Preparation of stable F-doped  $\text{SiO}_2$  thin films from  $\text{Si}(\text{NCO})_4/\text{SiF}_4/\text{O}_2$  gas mixtures using a conventional capacitively coupled RF plasma source", Jpn. J. Appl. Phys. **36**, 4911-4916 (1997).
- [22] J.W. Coburn, H.F. Winters, and T.J. Chuang, "Interface interactions in plasma etching", J. Appl. Phys. **48**, 3532-3540 (1977).

## Preparation of low refractive index $\text{SiO}_x\text{F}_y$ optical thin films by ion beam assisted deposition

F.J. Lee and C.K. Hwangbo

*Department of Physics, Inha University, Inchon 402-751, Korea*

(Received April 2, 1998, Revised manuscript received May 15, 1998)

$\text{SiO}_x\text{F}_y$  optical thin films of lower refractive indices than glass substrates were fabricated by the  $\text{CF}_4$  ion beam assisted deposition method and the optical, structural and chemical properties of them were investigated. Refractive index of  $\text{SiO}_x\text{F}_y$  films was varied from 1.455 to 1.394 by decreasing the anode voltage or from 1.462 to 1.430 by increasing the current density of end-Hall ion source. FT-IR and XPS analyses show that as the F concentration increases, the Si-O bond at  $1080 \text{ cm}^{-1}$  shifts to higher wavenumber, the OH bonds are reduced drastically, and the fluorine atoms at the air-film interface are desorbed out by reacting with  $\text{H}_2\text{O}$  in the atmosphere.  $\text{SiO}_x\text{F}_y$  thin films are amorphous by the XRD analysis and have the compressive stress below 0.3 GPa. As an application of  $\text{SiO}_x\text{F}_y$  thin films a two-layer antireflection coating was fabricated using a  $\text{SiO}_x\text{F}_y$  film as a low refractive index layer and a Si film as an absorbing one.